

01; 04

© 1991

ОДНОМЕРНЫЕ ДВИЖЕНИЯ ПЛАЗМЫ В ДВУХЖИДКОСТНОЙ ЭЛЕКТРОМАГНИТНОЙ ГАЗОДИНАМИКЕ

М.Б. Гавриков, Л.С. Соловьев

Проблемы равновесия и устойчивости плазмы обычно исследуются в рамках одножидкостной МГД [1], а динамика плазменных конфигураций с различными температурами электронного и ионного газов — в рамках кинетического подхода [2]. Результаты, получаемые обоими методами, в области своей применимости, как правило, следуют из двухжидкостной релятивистской электромагнитной газодинамики РЭМГД [3–5]. Использование самосогласованной системы уравнений РЭМГД представляется наиболее адекватным для широкого круга задач динамики плазмы и позволяет получать новые результаты также и в нерелятивистском приближении [6].

В настоящей работе математический аппарат двухжидкостной ЭМГД применяется для исследования одномерной динамики нерелятивистской бездиссипативной плазмы в плоской и цилиндрической геометрии. При этом существуют решения, в которых постоянно отношение температур $T_+ / T_- = const$, поперечные скорости совпадают $v_+ = v_-$, а продольные связаны соотношением $m_+ V_+ + m_- V_- = 0$, так что сохраняется положение центра масс. Такие решения удовлетворяют квазиодножидкостной системе уравнений. Для симметричных движений слоя и цилиндра с продольным током получены точные автомодельные решения динамических задач, описывающие коллапс слоя и нелинейные радиальные колебания цилиндра. При коллапсе слоя происходит ускорение ионов и электронов в противоположных направлениях и растет полный ток, а при колебаниях цилиндра продольные скорости и полный ток остаются постоянными. Тип решения определяется показателем адиабаты γ , согласно [5], заключенным в пределах $1 < \gamma \leq 2$.

1. Основные уравнения ЭМГД. Полную систему уравнений нерелятивистской бездиссипативной двухжидкостной электромагнитной газодинамики для квазинейтральной плазмы, как это следует из [3–6], можно представить в виде

$$\operatorname{div} E = 4\pi e(n_+ - n_-), \quad \operatorname{div} B = 0, \quad \operatorname{rot} B = \frac{4\pi e}{c} n u, \quad \frac{1}{c} \frac{\partial B}{\partial t} = -\operatorname{rot} E, \quad (1)$$

$$m_{\pm} \frac{dv_{\pm}}{dt} = -\frac{\nabla P_{\pm}}{n} \pm e \left(E + \frac{1}{c} [\sigma_{\pm} B] \right), \quad \frac{\partial n}{\partial t} + \operatorname{div} n_{\pm} v_{\pm} = 0 \quad \frac{d}{dt} P_{\pm} n^{-\gamma} = 0. \quad (2)$$

Здесь $e_{\pm} = \pm e$, $u = u_+ - u_-$ — токовая скорость, (1) — уравнения Максвелла в пренебрежении током смещения, газодинамические уравнения (2) составляют двойной набор уравнений для ионного и электронного газов. Разность концентраций $\delta n = n_+ - n_-$ имеет релятивистский порядок малости и определяется из первого уравнения (1).

2. Одномерные движения. В случае одномерной задачи, когда в криволинейных координатах $x^i, dt^2 = g_{ik} dx^i dx^k / dt^2 = d/dx^3 = 0$, в системе центра масс продольного движения $m_+ V_+ + m_- V_- = 0$ существуют решения системы (1)–(2), в которых совпадают поперечные скорости $v_+^i = v_-^i$ и остается постоянным отношение давлений $p_+ / p_- = \text{const}$. Соответствующие одномерные движения плазмы описываются системой семи квазиодножидкостных уравнений

$$\Delta A = -\frac{4\pi e}{c} n u, \quad m_{\Sigma} \frac{d\sigma}{dt} = -\frac{\nabla p_{\Sigma}}{dt} + \frac{e}{c} [\mu B] + \frac{\bar{m} u_{\Sigma}^2}{2g^2} \nabla g, \quad (3)$$

$$\frac{d}{dt} (\bar{m} u + \frac{e}{c} A)_{2,3} = 0, \quad \frac{\partial n}{\partial t} + \text{div} n v = 0, \quad \frac{d}{dt} p_{\Sigma} n^{-\gamma} = 0,$$

где $B = \text{rot} A$, $\bar{m} = m_+ m_- / m_{\Sigma}$, $m_{\Sigma} = m_+ + m_-$, $p_{\Sigma} = p_+ + p_-$, $g = |g_{ik}|$. Электрическое поле E выражается через магнитное поле B , градиенты давлений p_{\pm} и векторный потенциал A формулой

$$E = \frac{m_+ - m_-}{m_{\Sigma} c} [\mu B] - \frac{1}{en m_{\Sigma}} \nabla (m_+ p_- - m_- p_+) + \frac{m_+ - m_-}{2em_{\Sigma} g^2} \bar{m} u_{\Sigma}^2 \nabla g - \frac{1}{c} \frac{\partial A}{\partial t}. \quad (4)$$

На свободной границе плазмы с вакуумом $x^1 = a$ должно выполняться граничное условие $p_{\Sigma}(a) = 0$. Продольное электрическое поле определяется векторным потенциалом $E_{||} = -\frac{1}{c} \frac{\partial A}{\partial t}$ и, соответственно, $\text{div} E_{||} = 0$. В общем случае $u^1 = B^1 = A_{,1} = 0$, так что u , B и A имеют по две продольные компоненты. Условием автономности ограниченной плазменной конфигурации является сохранение полного тока.

3. Симметричные движения токового слоя. Пусть ток течет вдоль оси y , а магнитное поле направлено по оси z , тогда $u = u_z$, $B = B_y$, $A = A_z$, $v = v_x$ и система (3) принимает вид

$$\frac{\partial^2 A}{\partial x^2} = -\frac{4\pi e}{c} n u, \quad m_{\Sigma} \frac{d\sigma}{dt} = -\frac{1}{n} \nabla p_{\Sigma} + \frac{e}{c} u \frac{\partial A}{\partial x}, \quad (3a)$$

$$\frac{d}{dt} (\bar{m} u + \frac{e}{c} A) = 0, \quad \frac{\partial n}{\partial t} + \frac{\partial}{\partial x} n v = 0, \quad \frac{d}{dt} p_{\Sigma} n^{-\gamma} = 0.$$

Эта система содержит пять уравнений и имеет точное нелинейное решение, описывающее симметричные гомогенные движения однородного токового слоя $-a \leq x \leq a$, в котором

$$v = \frac{\dot{a}}{a} x, \quad u = u_0 \frac{a_0}{a}, \quad n = n_0 \frac{a_0}{a}, \quad \rho_{\Sigma} = \rho_{\Sigma}^0 \left(\frac{a_0}{a}\right)^{\gamma} \left(1 - \frac{x^2}{a^2}\right), \quad B = \frac{4\pi c}{c} n u x, \quad (5)$$

$$E_z = -\frac{\bar{m} u \dot{a}}{e a} (1 + x_{\Sigma}^2 x^2), \quad E_x = \frac{2x}{e m_{\Sigma} n a^2} \left\{ (m_+ \rho_+^0 - m_- \rho_-^0) \left(\frac{a_0}{a}\right)^{\gamma} - (m_+ - m_-) \rho_{\Sigma}^0 \left(\frac{a_0}{a}\right)^{\gamma} \right\},$$

где $x_{\Sigma}^2 = 4\pi e^2 n / \bar{m} c^2$, $\rho_{\Sigma}^0 = B_0^2(a_0) / 8\pi$, а движение границы $x = a(t)$ определяется уравнением

$$\ddot{a} = \frac{B_0^2(a_0)}{4\pi m_{\Sigma} n_0 a_0} \left[\left(\frac{a_0}{a}\right)^{\gamma} - \left(\frac{a_0}{a}\right)^{2\gamma} \right]. \quad (6)$$

В процессе сжатия слоя происходит однородное продольное ускорение электронов и ионов под действием постоянной составляющей силы Лоренца $m_{\pm} v_{\Sigma}^{\pm} = \pm e (E_z + v_x B_y / c) = \mp m u \dot{a} / a$. При этом сохраняется положение центра масс $x = 0$, $z = z_0$ и растет полный ток $J = J_0 a_0 / a$. Инкремент развития неустойчивости определяется альфвеновской скоростью $\delta = \sqrt{2 - \gamma} B_0 / \sqrt{4\pi m_{\Sigma} n_0} a_0$.

Интеграл уравнения (6) представляет потенциальное движение границ слоя $x = \pm a(t)$:

$$\frac{\dot{a}^2}{2} + u(a) = \frac{\dot{a}_0^2}{2}, \quad u(a) = \frac{1}{2} a_0^2 u_0^2 x_0^2 \left\{ \frac{1}{\gamma - 1} \left[\left(\frac{a_0}{a}\right)^{\gamma - 1} - 1 \right] - \frac{a_0}{a} + 1 \right\}, \quad (7)$$

где $x_0^2 = 8\pi e^2 n_0 / m_{\Sigma} c^2$.

Потенциал $u(a)$ приведен на рис. 1, из которого видно, что при $a \rightarrow 0$, $\dot{a} \rightarrow -\infty$. Невозможность превышения скорости света в релятивистской постановке задачи ограничивает коллапс величиной $a/a_0 \sim v_0/c$.

Плотность заряда, определяющаяся уравнением $4\pi \rho_e = \partial E_x / \partial x$, однородна и зависит от времени. Соответственно, в процессе коллапса растет внутренний заряд, и, как это следует из закона сохранения полного заряда, увеличивается поверхностный заряд противоположного знака.

4. Радиальные пульсации плазменного цилиндра. В случае плазменного цилиндра с продольным током $\sigma = \sigma_r$, $u = u_z$, $B = B_{\varphi}$, $A = A_z$, система (3) сводится к системе пяти квазиодножидкостных уравнений

$$\frac{1}{r} \frac{\partial}{\partial r} r \frac{\partial A}{\partial r} = -\frac{4\pi e}{c} n u, \quad m_{\Sigma} \frac{d\sigma}{dt} = -\frac{1}{n} \nabla \rho_{\Sigma} + \frac{e}{c} \frac{\partial A}{\partial r}, \quad (8)$$

$$\frac{\partial}{\partial t} (\bar{m} u + \frac{e}{c} A) = 0, \quad \frac{\partial n}{\partial t} + \frac{1}{r} \frac{\partial}{\partial r} r n v = 0, \quad \frac{d}{dt} \rho_{\Sigma} n^{-\gamma} = 0.$$

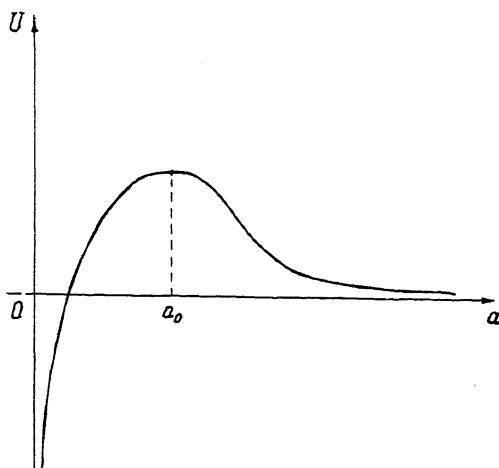


Рис. 1.

Если в равновесном состоянии выполняется условие $\rho_{\Sigma}'(r)/rn(r) = \text{const}$, эта система имеет точное решение, описывающее однородные пульсации цилиндра

$$\sigma = \dot{a}\xi, \quad u = u_0(\xi), \quad A = A_0(\xi), \quad n = \frac{a_0^2}{a^2} n_0(\xi), \quad \rho_{\Sigma} = \left(\frac{a_0}{a}\right) \rho_{\Sigma}^0(\xi), \quad B = B_0(\xi) \frac{a_0}{a},$$

$$E_z = -\frac{1}{c} \sigma B, \quad E_r = \frac{1}{em_{\Sigma} n_0 a} \left\{ (m_+ - m_-) \rho_{0z}'(\xi) - \left(\frac{a_0}{a}\right)^{2\gamma-2} [m_+ \rho_{0-}'(\xi) - m_- \rho_{0+}'(\xi)] \right\},$$
(8)

где $\xi = r/a$, а движение границы $r = a(t)$ определяется уравнением

$$\ddot{a} = \frac{\rho_{0z}'(\xi)}{m_{\Sigma} n_0(\xi) a_0 \xi} \left[\left(\frac{a_0}{a}\right)^{2\gamma-1} - \frac{a_0}{a} \right], \quad \rho_{0z}'(\xi) = -\frac{B_0(\xi)}{4\pi\xi} \frac{d}{d\xi} \xi B_0(\xi).$$
(9)

При этом продольное электрическое поле выражается той же формулой $E_z = -\sigma B/c$, что и в классической МГД, полный ток не изменяется $dJ/dt = 0$ и отсутствует продольное ускорение заряженных частиц $dV_t/dt = 0$. Решение (8)–(9) отличается от решения рассматриваемой задачи в рамках МГД [7, 8] только новым выражением для радиального электрического поля. Квадрат частоты малых колебаний, согласно (9), равен $\omega^2 = (\gamma-1)(rB)'B / 2\pi m_{\Sigma} n r^2 = \text{const}$.

В частном случае однородного тока $u = u_0$, $n = n_0 a_0^2 / a^2$ имеем

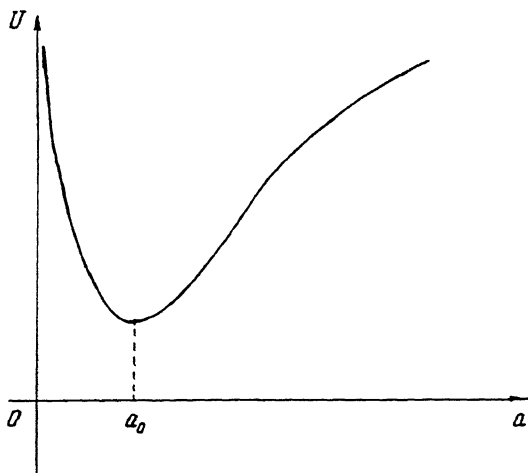


Рис. 2.

$$B = \frac{2\pi e}{c} \text{ н.и.т.}, \quad \rho = \rho_0 \left(\frac{a_0}{a}\right)^{2\gamma} \left(1 - \frac{r^2}{a^2}\right), \quad \ddot{a} = \frac{1}{4} \alpha_0^2 \omega_0^2 a_0 \left[\left(\frac{a_0}{a}\right)^{2\gamma-1} - \frac{a_0}{a} \right],$$

$$F_X = -\frac{2\gamma}{em_1 n_0 a_0^2} \left[(m_+ - m_-) \rho_\Sigma^0 \frac{a_0}{a} - (m_+ \rho_0^- - m_- \rho_0^+) \left(\frac{a_0}{a}\right)^{2\gamma-1} \right]. \quad (10)$$

Интегрирование уравнения для $a(t)$, дает выражение для потенциала, описывающего нелинейные колебания границы цилиндра $r = a(t)$,

$$\frac{\dot{a}^2}{2} + U(a) = 0, \quad U(a) = -\frac{1}{4} \alpha_0^2 \omega_0^2 a_0^2 \left\{ \ln \frac{a_{1,2}}{a} - \frac{1}{2\gamma-2} \left[\left(\frac{a_0}{a}\right)^{2\gamma-2} - \left(\frac{a_0}{a_{1,2}}\right)^{2\gamma-2} \right] \right\}, \quad (11)$$

где a_1 и a_2 — максимальный и минимальный радиусы границы $a(t)$, связанные соотношением $(a_0/a_1)^{2\gamma-2} - (a_0/a_2)^{2\gamma-2} = \ln(a_2/a_1)^{2\gamma-2}$. Потенциальная яма $U(a)$ изображена на рис. 2.

Аналогично слою, при сохранении полного заряда, в процессе колебаний цилиндра изменятся как внутренний, так и поверхностный заряд.

В заключение отметим, что, в случае равных масс $m_+ = m_-$ и одинаковых температур $T_+ = T_-$, релятивистские уравнения двухжидкостной РЭМГД для одномерных движений также сводятся к системе квазиодножидкостных уравнений.

С п и с о к л и т е р а т у р ы

- [1] Ландау Л.Д., Лифшиц Е.М. Электродинамика сплошных сред. М.: Наука, 1982.
- [2] Дэвидсон Р. Теория заряженной плазмы. М.: Мир, 1978.
- [3] Соловьев Л.С., Гурович В.Ц. // Физика плазмы. 1986. Т. 12. С. 845.
- [4] Гурович В.Ц., Соловьев Л.С. // ЖЭТФ. 1986. Т. 91. С. 1144.
- [5] Гавриков М.Б., Соловьев Л.С. // ЖЭТФ. 1988. Т. 94. С. 106.
- [6] Морозов А.И., Соловьев Л.С. В сб.: Вопросы теории плазмы. Вып. 8. Под ред. М.А. Леонтовича. Атомиздат, 1974. С. 3.
- [7] Куликовский А.Г. // ДАН СССР. 1957. № 114. С. 984.
- [8] Соловьев Л.С. // Физика плазмы. 1984. Т. 10. С. 1045.

Поступило в Редакцию
13 апреля 1991 г.